Zeitschrift: Helvetica Physica Acta

Band: 23 (1950)

Heft: [3]: Supplementum 3. Internationaler Kongress über Kernphysik und

Quantenelektrodynamik

Artikel: Die Photospaltung des Deutons mit der Lithium-Gammastrahlung

Autor: Wäffler, H. / Younis, S.

DOI: https://doi.org/10.5169/seals-422247

Nutzungsbedingungen

Die ETH-Bibliothek ist die Anbieterin der digitalisierten Zeitschriften auf E-Periodica. Sie besitzt keine Urheberrechte an den Zeitschriften und ist nicht verantwortlich für deren Inhalte. Die Rechte liegen in der Regel bei den Herausgebern beziehungsweise den externen Rechteinhabern. Das Veröffentlichen von Bildern in Print- und Online-Publikationen sowie auf Social Media-Kanälen oder Webseiten ist nur mit vorheriger Genehmigung der Rechteinhaber erlaubt. Mehr erfahren

Conditions d'utilisation

L'ETH Library est le fournisseur des revues numérisées. Elle ne détient aucun droit d'auteur sur les revues et n'est pas responsable de leur contenu. En règle générale, les droits sont détenus par les éditeurs ou les détenteurs de droits externes. La reproduction d'images dans des publications imprimées ou en ligne ainsi que sur des canaux de médias sociaux ou des sites web n'est autorisée qu'avec l'accord préalable des détenteurs des droits. En savoir plus

Terms of use

The ETH Library is the provider of the digitised journals. It does not own any copyrights to the journals and is not responsible for their content. The rights usually lie with the publishers or the external rights holders. Publishing images in print and online publications, as well as on social media channels or websites, is only permitted with the prior consent of the rights holders. Find out more

Download PDF: 02.10.2025

ETH-Bibliothek Zürich, E-Periodica, https://www.e-periodica.ch

Die Photospaltung des Deutons mit der Lithium-Gammastrahlung

von H. Wäffler und S. Younis (Eidg. Techn. Hochschule, Zürich).

Eine experimentelle Untersuchung des Kernphotoeffektes am Deuton gestattet grundsätzlich, zwischen den verschiedenen Kraftansätzen der Mesontheorie zu entscheiden. Die Theorie dieses Kernprozesses erlaubt nämlich eine exakte Berechnung des Wirkungsquerschnittes σ und der Winkelverteilung J (Θ) der emittierten Photoprotonen (bzw. Photoneutronen). Beide Grössen hängen von dem der Rechnung zugrundegelegten Ansatz ab. Vor allem im Gebiet hoher Quantenenergien ($h\nu \gg 2,2$ MeV) sind Messungen von Nutzen, weil dort die verschiedenen Kraftansätze zum Teil stark voneinander abweichende Resultate ergeben.

Die im Prozess Li⁷ (p, γ) Be⁸ emittierte Gammastrahlung besteht aus zwei Linien mit den Quantenenergien $h\nu = 17.6$ bzw. $h\nu =$ 14,8 MeV. Ihr Intensitätsverhältnis: J(17,6)/J(14,8) beträgt sowohl in Richtung des einfallenden Protonenstrahls¹), als auch senkrecht dazu²) etwa 2/1. Mit diesen Gammastrahlen wurden Kernphotoplatten (Ilford C₂, Kodak NT2a, Schichtdicke 200 μ), welche in die Emulsion eingelagertes Deuterium enthielten, in streifender Inzidenz bestrahlt. Die Einlagerung des Deuteriums in die Platten erfolgte durch Tränken in schwerem Wasser (D₂O). Mit jeder D₂O-Platte wurde gleichzeitig eine in gewöhnlichem Wasser getränkte Platte mitbestrahlt. Auf je 21 cm² Plattenfläche entfielen in den H₂O-Platten rund 600, in den D₂O-Platten 1200 Protonenspuren mit Energien zwischen 5,6 und 8,8 MeV. Die Energieverteilung der 600 Protonen, welche man als Überschuss erhält, zeigt zwei ausgeprägte Maxima bei 6,3 bzw. 7,7 MeV, entsprechend den beiden Linien der Lithiumgammastrahlung. Die Winkelverteilung dieser Photoprotonen stimmt gut mit der theoretischen Formel

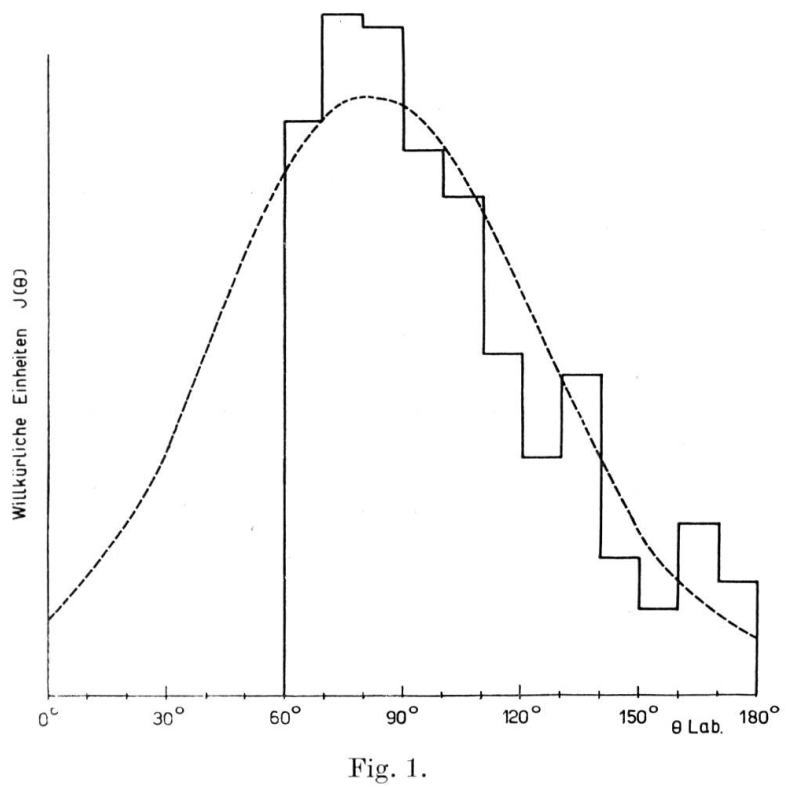
$$J(\Theta) = A + \sin^2 \Theta \tag{1}$$

 $(\Theta = \text{Winkel zwischen Gammastrahl und Photoproton im Schwerpunktsystem})$ überein (s. Fig. 1). Für die exakte Bestimmung der

¹⁾ R. L. Walker und B. D. McDaniel, Phys. Rev. 74, 315 (1948).

²⁾ Nach eigenen noch unveröffentlichten Messungen.

Konstanten A verwendet man zweckmässigerweise nur Spuren, welche (im Schwerpunktsystem) innerhalb eines Rotationskegels um die 0°- bzw. 90°-Richtung liegen. Man kann zeigen, dass unter Zugrundelegung der Winkelverteilung (1) für einen angenommenen Wert der Grösse A der Öffnungswinkel 2α des Rotationskegels sich unabhängig von der Zahl der ausgemessenen Spuren so bestimmen lässt, dass der statistische Fehler von A ein Minimum wird. So beträgt beispielsweise für A = 0.12 dieser optimale Öffnungswinkel



Winkelverteilung der Photoprotonen (ca. 600 Spuren). Beobachtete Spurenzahl pro Raumwinkeleinheit (Laborsystem).

----- In das Laborsystem transformierte Verteilung: $J(\Theta) = 0.12 + \sin^2 \Theta$.

Die beiden Diagramme sind (im Winkelbereich $60^{\circ} \leq \Theta_{\text{Lab}} \leq 180^{\circ}$) flächengleich gezeichnet. Die experimentelle Verteilung wurde nur bis zu 60° aufgenommen, weil unter kleineren Winkeln nicht mehr eindeutig zwischen Photoprotonen und Rückstossprotonen unterschieden werden kann.

 $2 \alpha \sim 48^{\circ}$. Für die Auswertung können nur diejenigen in Richtung des Gammastrahls fallenden Photoprotonen, für welche $180^{\circ} - \alpha \leq \Theta \leq 180^{\circ}$ ist, benützt werden. Infolge des natürlichen Deuteriumgehaltes des Protonenstrahls emittiert nämlich die Quelle ausser der Lithium-Gammastrahlung auch noch stets energiereiche, aus der Reaktion Li (D, n) stammende Neutronen. Diese Neutronen erzeugen in

der Emulsion Rückstossprotonen, welche die Ausmessung der Photoprotonen in der Vorwärtsrichtung $(0 \le \theta \le \alpha)$ verunmöglichen. Bei den vorliegenden Messungen wurde zur Berechnung der Konstanten A die Anzahl der Photoprotonen mit Energien zwischen 5,8 und 8 MeV, welche im Schwerpunktsystem innerhalb von Rotationskegeln mit 48° Öffnungswinkel und den Achsen

a) senkrecht zur Richtung des einfallenden Gammastrahls (2 Kegel, 250 Spuren); b) in Richtung des Gammastrahls (1 Kegel, 180°— $\alpha \leqslant \Theta \leqslant 180°$, 20 Spuren) bestimmt. Es ergibt sich für beide Linien zusammen

$$A 0.12 \pm 0.10$$
 (mittlerer statistischer Fehler) (2)

Der totale Wirkungsquerschnitt wurde aus der Zahl *aller* beobachteten Photoprotonen berechnet (600 Spuren). Sein Wert, für beide Linien zusammen, beträgt

$$\frac{2}{3}\sigma(17.6) + \frac{1}{3}\sigma(14.8) = (7.5 \pm 2.5) \cdot 10^{-28} \text{ cm}^2 \text{ (Fehlergrenze)}$$
 (3)

Der Fehler in σ ist hauptsächlich durch die Unsicherheit in der absoluten Zahl der emittierten Gammaquanten bedingt. Diese

Tabelle I.

Theoretische Werte für σ (in 10^{-28} cm²) und A

Quantenenergie $h\nu = 17.5$ MeV.

Art des Potentials	Reich- weite der Kraft in 10^{-13} cm	Nichtzentrale Kräfte						Zentralkräfte		
		I.		II.		III.		I.	II.	III.
		σ	A	σ	A	σ	A	σ	σ	σ
Rarita & Schwinger:										
Kastenpotential	2,80	7,68	0,015	7,23	0,077	3,76	0,36			
Tsing-Ming Hu &										
Massey:										
Kastenpotential	2,62	7,23	0,019	6,87	0,119	4,27	0,436	7,53	7,42	5,71
Kastenpotential	3,05	8,09	0,013	7,86	0,037	3,99	0,341	8,20	8,26	4,00
Kastenpotential	3,49	8,96	0,010	9,00	0,017	2,80	0,292	9,29	8,77	1,72
Exponential-	20									
Potential	1,74	7,33	0,018	7,38	0,071	4,45	0,199			
Yukawa-Potential .	1,74	7,25	0,017	7,67	0,058	4,59	0,106			

wurde mit einem dickwandigen Aluminiumzähler, unter Benützung der von Fowler und Mitarbeitern¹) gegebenen Kurven für die

¹⁾ W. A. Fowler, C. C. Lauritsen und T. Lauritsen, Rev. Mod. Phys.20, 236 (1948).

Quantenausbeute bestimmt. Der in (3) angegebene Fehler beruht auf der Annahme einer Unsicherheit von 20% in der absoluten Gammaintensität.

Die vorliegenden experimentellen Werte können mit der Theorie verglichen werden. In Tabelle 1 sind die Ergebnisse der Rechnungen von Rarita und Schwinger¹) sowie von Tsing-Ming Hu und Massey²) zusammengestellt. DieseRechnungen wurden für die drei Krafttypen der sog. symmetrischen (I.,) geladenen (II.) und neutralen (III.) Theorie durchgeführt.

Ein Vergleich der experimentellen Werte mit den Grössen der Tabelle 1 ergibt eine ausserhalb des Fehlers liegende Abweichung gegenüber den Ergebnissen der neutralen Theorie. Dagegen sind die Messresultate sowohl mit der symmetrischen, als auch mit der geladenen Theorie verträglich.

¹⁾ W. RARITA & J. SCHWINGER, Phys. Rev. **59**, 556 (1941).

²) Tsing-Ming Hu & H. S. Massey, Proc. Rov. Soc. 196, 135 135 (1949).